

Gdańsk, dn. 2026-05-21

Orange Polska S.A.
Al. Jerozolimskie 160
02-326 Warszawa

Pełnomocnik: [REDACTED]
Pełnomocnictwo numer: 172/01/21
z dnia: 2021-01-13

dane do korespondencji:

NetWorks Sp. z o.o.
ul. Abpa Baraniaka 6
61-131 Poznań
tel. 538897717
AE:PL-75331-40483-VAGTH-20

Starosta Powiatu Olsztyńskiego
Starostwo Powiatowe w Olsztynie
Plac Bema 5
10-516 Olsztyn
AE:PL-73458-32173-CRBET-17

Dotyczy: ustawowego obowiązku, wynikającego z art. 152 ust. 1 i ust. 7 w związku z ust. 6 pkt 1c ustawy z dnia 27 kwietnia 2001r – Prawo ochrony środowiska (Dz.U. 2024 poz. 54).

Działając z upoważnienia Orange Polska S.A. z siedzibą Al. Jerozolimskie 160, 02-326 Warszawa, **informuję o zmianie danych w zakresie wielkości i rodzaju emisji** dla instalacji radiokomunikacyjnej **7482 (44742N!) BARCZEWO CITY (GOL_BARCZEWO_CITY)** zlokalizowanej w miejscowości BARCZEWO, ul. FELIKSA NOWOWIEJSKIEGO 4. W stosunku do informacji zawartej w zgłoszeniu realizowanym dla tej instalacji w trybie art. 152 ust. 1 i 5 ustawy z dnia 27 kwietnia 2001r – Prawo ochrony środowiska (Dz.U. 2024 poz. 54), dane ulegają zmianie w następujący sposób:

9. Wielkość i rodzaj emisji²⁾:

Pole elektromagnetyczne. EIRP poszczególnych anten zostało podane w pkt 12, tj.

Lp.	Równoważna moc promieniowana izotropowo (EIRP) [W]
1.	18727
2.	11065
3.	47886
4.	18727
5.	11065
6.	47886
7.	22093
8.	47886
9.	1779

12. Szczegółowe dane, odpowiednio do rodzaju instalacji, zgodne z wymaganiami określonymi w załączniku nr 2 do Rozporządzenia:

Lp.	1)	2)	3)	4)	5)	
	Współrzędne geograficzne	Częstotliwość lub zakresy częstotliwości pracy instalacji [MHz]	Wysokość środka elektrycznego anteny [m n.p.t]	Równoważna moc promieniowana izotropowo (EIRP) [W]	Azymut [°]	Kąt pochylenia lub zakresy kątów pochylenia [°]
1.	20°41'28.2" 53°49'43.3"	900/1800/2100	40.5	18727	40	0-10/ 0-10/0-10
2.	20°41'28.1" 53°49'43.3"	800/2600	40.5	11065	40	0-10/0-10
3.	20°41'28.1" 53°49'43.3"	3600	42.3	47886	40	4-10
4.	20°41'28.3" 53°49'43.1"	900/1800/2100	40.5	18727	130	0-10/ 0-10/0-10
5.	20°41'28.2" 53°49'43.1"	800/2600	40.5	11065	130	0-10/0-10
6.	20°41'28.2" 53°49'43.1"	3600	42.3	47886	130	4-10
7.	20°41'28" 53°49'43.2"	800/900/1800/ 2100/2600	40.5	22093	250	2/2/2/2/2
8.	20°41'28" 53°49'43.2"	3600	42.3	47886	250	4-10
9.	20°41'28.2" 53°49'43.3"	80000	40.5	1779	20*	nd.

*) tolerancja azymutu od -10° do + 10°.

Informuję, iż dokonane zmiany w zakresie wielkości i rodzaju emisji przedmiotowej instalacji nie powodują zmiany instalacji w sposób istotny zgodnie z art. 3 pkt 7 ustawy Poś.

W załączniku przesyłam:

1. Pełnomocnictwo
2. Kopia potwierdzenia wniesienia opłaty skarbowej.
3. Sprawozdanie z pomiarów pól elektromagnetycznych wykonanych dla celów ochrony środowiska.

Otrzymują:

1. a/a
2. adresat



Signed by /
Podpisano przez:

Date / Data: 2026-
05-21 12:16



NetWorks Sp. z o.o.
Laboratorium Badań Środowiskowych
ul. Józefa Piusa Dziekońskiego 3
00-728 Warszawa
e-mail: Laboratorium@networks.pl



AB 419

S P R A W O Z D A N I E 1545/2026/OS
Z POMIARÓW PÓL ELEKTROMAGNETYCZNYCH
WYKONANYCH DLA POTRZEB OCHRONY ŚRODOWISKA

Badany obiekt: Instalacja radiokomunikacyjna Orange Polska S.A.

Numer i nazwa: 7482 (44742N!) BARCZEWO CITY (GOL_BARCZEWO_CITY)

Adres: BARCZEWO, FELIKSA NOWOWIEJSKIEGO 4, Powiat olsztyński, WOJ. WARMIŃSKO-MAZURSKIE

Data wykonania pomiarów: 2026-05-13

Sprawozdanie z badań bez pisemnej zgody laboratorium nie może być powielane inaczej niż w całości.

Wyniki przedstawione w niniejszym sprawozdaniu odnoszą się wyłącznie do badanego obiektu i do warunków i konfiguracji urządzeń w dniu wykonywania pomiarów.

1. Właściciel badanego obiektu:

Orange Polska S.A., Al. Jerozolimskie 160, 02-326 Warszawa

2. Zleceniodawca:

Orange Polska S.A., Al. Jerozolimskie 160, 02-326 Warszawa

3. Przedstawiciel zleceniodawcy:

NetWorks Sp. z o.o.

4. Zakres zlecenia:

Wykonanie badania i opracowanie sprawozdania z pomiarów natężenia pola elektrycznego i pola magnetycznego dla instalacji radiokomunikacyjnej Orange Polska S.A. zlokalizowanej w miejscowości BARCZEWO, FELIKSA NOWOWIEJSKIEGO 4.

5. Cel zlecenia:

Wykonanie pomiarów pól elektromagnetycznych w otoczeniu instalacji radiokomunikacyjnej 7482 (44742N!) BARCZEWO CITY (GOL_BARCZEWO_CITY) w odniesieniu do wymagań określonych w *Rozporządzeniu Ministra Klimatu z dnia 17 lutego 2020 r. w sprawie sposobów sprawdzania dotrzymania dopuszczalnych poziomów pól elektromagnetycznych w środowisku (Dz.U. 2022 poz. 2630)*.

6. Pomiary zostały wykonane przez:**7. Informacje o źródłach pól elektromagnetycznych****7.1. Sposób identyfikacji badanych źródeł pól elektromagnetycznych**

Identyfikacji źródeł i parametrów technicznych dokonano na podstawie analizy dokumentacji dotyczącej zlecenia oraz obserwacji miejsca wykonywania badań.

7.2. Opis miejsca zainstalowania anten i urządzeń technicznych. Opis obiektu badań i jego otoczenia

Instalacja radiokomunikacyjna zlokalizowana jest na kościele. Anteny zawieszono na wieży kościelnej. Urządzenia sterujące oraz zasilające zainstalowano w szafie outdoor wewnątrz budynku kościoła. Wokół instalacji znajduje się miasto.

Instalacja radiokomunikacyjna jest obiektem bezobsługowym. Okresowe stanowiska pracy związane są z prowadzonymi w zależności od potrzeb konserwacjami, przeglądami, strojeniem i naprawami.

7.3. Parametry techniczne źródła pola elektromagnetycznego

Dane przedstawiające maksymalne parametry pracy instalacji przekazane przez zleceniodawcę:

Parametry systemu nadawczo-odbiorczego:

Charakterystyka promieniowania		Kierunkowa					
Rzeczywisty czas pracy [h/dobę]		24					
Warunki pracy		Znamionowe					
Rodzaj wytwarzanego pola		Stacjonarne					
Lp.	Częstotliwość lub zakresy częstotliwości pracy [MHz]	Typ/producent anteny	liczba anten	Azymut [°]	kąt pochylecia [°]	Wysokość środka elektrycznego anteny [m n.p.t]	Równoważna moc promieniowana izotropowo (EIRP) [W]
1	900/1800/2100	ATR4518R6v06 Huawei	1	40	0-10**/0-10**/0-10**	40.5	18727
2	800/2600	ATR4518R6v06 Huawei	1	40	0-10**/0-10**	40.5	11065
3	3600	AQQQ NSN	1	40	4-10**	42.3	47886
4	900/1800/2100	ATR4518R6v06 Huawei	1	130	0-10**/0-10**/0-10**	40.5	18727
5	800/2600	ATR4518R6v06 Huawei	1	130	0-10**/0-10**	40.5	11065
6	3600	AQQQ NSN	1	130	4-10**	42.3	47886
7	800/900/1800/2100/2600	80010991 Kathrein	1	250	2*/2*/2*/2*/2*	40.5	22093
8	3600	AQQQ NSN	1	250	4-10**	42.3	47886

* wskazane wartości kąta pochylecia anten, zgodnie z informacją uzyskaną od zleceniodawcy, są wartościami stałymi

** pomiary wykonano zgodnie z pkt 13., ppkt 2 załącznika do Rozporządzenia Ministra Klimatu z dnia 17 lutego 2020 r. (Dz. U. 2022, poz. 2630).

Parametry radiolinii:

Charakterystyka promieniowania		kierunkowa					
Rzeczywisty czas pracy [h/dobę]		24					
Warunki pracy		znamionowe					
Rodzaj wytwarzanego pola		stacjonarne					
Lp.	Linia radiowa			Antena			
	Typ/Producent	Częstotliwość pracy [GHz]	Równoważna moc promieniowana izotropowo (EIRP) [W]	Typ/producent	Średnica anteny [m]	Azymut [°]	Wysokość zainstalowania n.p.t [m]
1.	RTN 380AX DC 70/80GHz 500MHz Huawei	80	1779	A80D03 Huawei	0.3	20	40.5

7.4 Inne źródła pól elektromagnetycznych

Na podstawie informacji otrzymanych od użytkownika oraz obserwacji otoczenia miejsca wykonywania pomiarów stwierdzono występowanie innych źródeł pola-EM, pracujących w systemach: telefonii komórkowej (800MHz-3800MHz), linii radiowych (5GHz-90GHz), które istotnie wpływają na wyniki pomiarów.

8. Opis pomiarów

8.1. Metoda badań

Zgodna z rozporządzeniem Ministra Klimatu z dnia 17 lutego 2020 r. w sprawie sposobów sprawdzania dotrzymania dopuszczalnych poziomów pól elektromagnetycznych w środowisku (Dz.U. 2022 poz. 2630), określona w pkt 25 ppkt 1 załącznika do niniejszego rozporządzenia.

Sprawozdanie z badań bez pisemnej zgody laboratorium nie może być powielane inaczej niż w całości.

Wyniki przedstawione w niniejszym sprawozdaniu odnoszą się wyłącznie do badanego obiektu i do warunków i konfiguracji urządzeń w dniu wykonywania pomiarów.

8.2. Termin pomiarów i warunki środowiskowe

Podczas wykonywania pomiarów pól elektromagnetycznych nie występowały opady atmosferyczne. Wyniki pomiaru parametrów pogodowych przedstawia poniższa tabela:

Data [rrrr-mm-dd]	Godzina [hh:mm-hh:mm]	Warunki środowiskowe			
		Temperatura [°C]		Wilgotność względna [%]	
2026-05-13	11:30-13:00	Przed pomiarem	Po pomiarach	Przed pomiarem	Po pomiarach
		9.5	10.5	68.8	66.5

Przedstawione wyżej warunki środowiskowe, występujące podczas wykonywania pomiarów pól elektromagnetycznych, są zgodne ze specyfikacją techniczną użytego zestawu pomiarowego.

8.3. Warunki pracy urządzeń nadawczych

Podczas pomiarów w przypadku uzyskania wyniku pomiaru szerokopasmowego wykonanego zastosowaną metodą, dla zakresów częstotliwości od 10 MHz do 300 GHz, powiększonego o rozszerzoną niepewność pomiaru U dla współczynnika rozszerzenia $k = 2$ przekraczającego 70% najniższej dopuszczalnej wartości składowej elektrycznej lub magnetycznej pola dla objętych pomiarami zakresów częstotliwości, uwzględnia się poprawki pomiarowe przekazane przez zleceniodawcę, umożliwiające uwzględnienie maksymalnych parametrów pracy instalacji zgodnie z pkt 7 załącznika do Rozporządzeniem Ministra Klimatu z dnia 17 lutego 2020 r. w sprawie sposobów sprawdzania dotrzymania dopuszczalnych poziomów pól elektromagnetycznych w środowisku (Dz. U. 2022, poz. 2630) zaznaczając, że wymagane jest wykonanie pomiaru z wykorzystaniem miernika selektywnego. W przypadku uzyskania wyniku pomiaru szerokopasmowego wykonanego zastosowaną metodą, dla zakresów częstotliwości od 10 MHz do 300 GHz, powiększonego o rozszerzoną niepewność pomiaru U dla współczynnika rozszerzenia $k = 2$ nieprzekraczającego 70% najniższej dopuszczalnej wartości składowej elektrycznej lub magnetycznej pola dla objętych pomiarami zakresów częstotliwości, nie uwzględnia się poprawek pomiarowych.

8.4. Wyposażenie pomiarowe

Zestaw pomiarowy służący do pomiaru natężenia składowej elektrycznej pola elektromagnetycznego złożony z szerokopasmowego miernika i sondy pomiarowej:

Oznaczenie miernika	Producent	Model	Numer fabryczny	Oznaczenie sondy	Producent	Model	Numer fabryczny
MW-08	Wavecontrol	Miernik pól elektromagnetycznych SMP2	22SN2090	SW-15	Wavecontrol	Sonda WPF60	22WP230221

Mierniki natężenia pola elektromagnetycznego podlegają okresowemu sprawdzeniu zgodnie z procedurą wewnętrzną P-03 i PB-01. Świadectwo wzorcowania zestawu pomiarowego z dnia 8 listopada 2024 o numerze LWiMP/W/395/24 wydane przez Politechnika Wrocławską. Data następnego wzorcowania: 8 listopada 2026 (zgodnie z procedurą wewnętrzną P-03).

Oznaczenie miernika	Producent	Model	Numer fabryczny	Oznaczenie sondy	Producent	Model	Numer fabryczny
MW-08	Wavecontrol	Miernik pól elektromagnetycznych SMP2	22SN2090	SW-16	Wavecontrol	Sonda WPF3-HP	22WP030450

Mierniki natężenia pola elektromagnetycznego podlegają okresowemu sprawdzeniu zgodnie z procedurą wewnętrzną P-03 i PB-01. Świadectwo wzorcowania zestawu pomiarowego z dnia 8 listopada 2024 o numerze LWiMP/W/395/24 wydane przez Politechnika Wrocławską. Data następnego wzorcowania: 8 listopada 2026 (zgodnie z procedurą wewnętrzną P-03).

Termohigrometr:

Oznaczenie:	TH-24	Producent:	AZ INSTRUMENT CORP	Model:	Termohigrometr AZ8706
-------------	-------	------------	--------------------	--------	-----------------------

Data następnego wzorcowania: 3 sierpnia 2027 (zgodnie z procedurą wewnętrzną P-03).

Dalmierz:

Oznaczenie	Producent	Typ	Numer seryjny	Nr świadectwa wzorcowania	Data świadectwa wzorcowania
D-09	Leica	Dalmierz Leica Disto D510	1042956700	Z3- Z32.4180.182.2024.4196.3	8 stycznia 2025

Data następnego wzorcowania: 8 stycznia 2035 (zgodnie z procedurą wewnętrzną P-03).

Sprawozdanie z badań bez pisemnej zgody laboratorium nie może być powielane inaczej niż w całości.

Wyniki przedstawione w niniejszym sprawozdaniu odnoszą się wyłącznie do badanego obiektu i do warunków i konfiguracji urządzeń w dniu wykonywania pomiarów.

Odbiornik GNSS:

Odbiornik GNSS wbudowany w miernik natężenia pola elektromagnetycznego użyty podczas pomiarów	Producent	Model
	UBlox	MAX-M8Q

Odbiorniki podlegają okresowemu sprawdzeniu zgodnie z procedurą wewnętrzną P-03.

9. Wyniki pomiarów

Pomiary wykonano na terenach przeznaczonych pod zabudowę mieszkaniową w obszarze pomiarowym, w którym na podstawie uprzednio przeprowadzonych obliczeń (OOP* 400/2026/RP), stwierdzono występowanie w danych zakresach częstotliwości pól elektromagnetycznych o poziomach zbliżonych do poziomów dopuszczalnych, określonych w przepisach wydanych na podstawie art. 122 ust. 1 ustawy z dnia 27 kwietnia 2001 r. – Prawo ochrony środowiska.

*OOP - Obligatoryjny Obszar Pomiarowy - opracowanie przedstawia przewidywane rozkłady pól elektromagnetycznych w otoczeniu instalacji radiokomunikacyjnej.

Pole elektryczne

Nr pionu	Opis umiejscowienia pionu (punktu) pomiarowego	Wysokość pomiaru [m]	Zmierzona wartość natężenia pola elektrycznego E [V/m] ^{1,5}			Wartość natężenia pola elektrycznego powiększona o niepewność pomiaru ⁴ E [V/m]	Wskaźnikowa wartość poziomu emisji pól elektromagnetycznych WME ³	Współrzędne geograficzne pionu (punktu) pomiarowego ²
			Sonda SW-15	Sonda SW-16	Wartość			
1	DPP wewnątrz budynku kościoła	0.3-2.0	<1.0*	<1.0*	<1.0*	1.4	0.05	53°49'43.3" 20°41'28.7"
2	DPP wewnątrz budynku kościoła	0.3-2.0	<1.0*	<1.0*	<1.0*	1.4	0.05	53°49'43.0" 20°41'30.1"
3	DPP w oknie otwartym mieszkania nr 3 budynku przy ul Nowowiejskiego 7	2.0	1.8	1.8	1.8	2.4	0.09	53°49'44.0" 20°41'30.1"
4	DPP w oknie na parterze budynku przy ul Nowowiejskiego 7	2.0	1.6	1.6	1.6	2.2	0.08	53°49'44.4" 20°41'29.8"
5	DPP 2 oknie parterowego budynku usługowego przy ul Nowowiejskiego 5	2.0	1.6	1.6	1.6	2.2	0.08	53°49'44.0" 20°41'28.3"
6	DPP w oknie parterowego budynku usługowego przy ul Nowowiejskiego 5a	2.0	1.7	1.7	1.7	2.3	0.08	53°49'44.0" 20°41'28.0"
7	DPP w oknie otwartym mieszkania nr 2 na 1 piętrze budynku przy ul Kopernika 8	0.3-2.0	<1.0*	<1.0*	<1.0*	1.4	0.05	53°49'43.0" 20°41'27.2"
8	DPP w oknie na parterze budynku plebanii przy ul. Nowowiejskiego 4	2.0	1.6	1.6	1.6	2.2	0.08	53°49'43.3" 20°41'31.2"
9	DPP w oknie mieszkania nr 2 na 1 piętrze budynku przy ul. Mickiewicza 17	2.0	1.3	1.3	1.3	1.8	0.06	53°49'43.7" 20°41'26.2"
10	DPP w oknie na parterze budynku przy ul Mickiewicza 19	2.0	1.5	1.5	1.5	2	0.07	53°49'43.3" 20°41'26.2"

Sprawozdanie z badań bez pisemnej zgody laboratorium nie może być powielane inaczej niż w całości.

Wyniki przedstawione w niniejszym sprawozdaniu odnoszą się wyłącznie do badanego obiektu i do warunków i konfiguracji urządzeń w dniu wykonywania pomiarów.

11	DPP w oknie na parterze budynku przy ul. Mickiewicza 26	2.0	1.2	1.2	1.2	1.6	0.06	53°49'42.6" 20°41'24.7"
12	DPP w oknie na parterze budynku przy ul. Mickiewicza 28	2.0	1.3	1.3	1.3	1.8	0.06	53°49'42.2" 20°41'24.4"
13	DPP w oknie otwartym klatki schodowej na 4 piętrze budynku przy ul. Mickiewicza 23	2.0	2.0	2.0	2.0	2.7	0.1	53°49'42.6" 20°41'25.4"
14	DPP w oknie klatki schodowej na 1 piętrze budynku przy ul. Mazurskiej 2	2.0	1.3	1.3	1.3	1.8	0.06	53°49'42.2" 20°41'25.8"
15	DPP w oknie otwartym mieszkania nr 7 na 3 piętrze budynku przy ul. Smetka 2	2.0	2.1	2.1	2.1	2.8	0.1	53°49'42.6" 20°41'26.9"
16	DPP w oknie otwartym klatki schodowej na 2 piętrze budynku przy ul. Kopernika 7	2.0	1.4	1.4	1.4	1.9	0.07	53°49'42.2" 20°41'27.6"
17	DPP w oknie na parterze budynku przy ul. Kopernika 5	2.0	1.3	1.3	1.3	1.8	0.06	53°49'41.9" 20°41'27.6"
18	GKP w odległości poziomej 17m od anteny radioliniowej az. 20°	2.0	1.2	1.2	1.2	1.6	0.06	53°49'43.7" 20°41'28.7"
19	GKP w odległości poziomej 62m od anteny radioliniowej az. 20°	2.0	1.4	1.4	1.4	1.9	0.07	53°49'45.1" 20°41'29.4"
20	GKP w odległości poziomej 24m od anteny sektorowej az. 40°	2.0	1.3	1.3	1.3	1.8	0.06	53°49'44.0" 20°41'29.0"
21	GKP w odległości poziomej 69m od anteny sektorowej az. 40°	2.0	1.5	1.5	1.5	2	0.07	53°49'45.1" 20°41'30.5"
22	GKP w odległości poziomej 113m od anteny sektorowej az. 40°	2.0	1.4	1.4	1.4	1.9	0.07	53°49'46.2" 20°41'32.3"
23	GKP w odległości poziomej 26m od anteny sektorowej az. 130°	0.3-2.0	<1.0*	<1.0*	<1.0*	1.4	0.05	53°49'42.6" 20°41'29.4"
24	GKP w odległości poziomej 53m od anteny sektorowej az. 130°	2.0	1.2	1.2	1.2	1.6	0.06	53°49'41.9" 20°41'30.5"
25	GKP w odległości poziomej 71m od anteny sektorowej az. 130°	2.0	1.6	1.6	1.6	2.2	0.08	53°49'41.5" 20°41'31.2"
26	GKP w odległości poziomej 9m od anteny sektorowej az. 250°	2.0	1.3	1.3	1.3	1.8	0.06	53°49'43.0" 20°41'27.6"
27	GKP w odległości poziomej 44m od anteny sektorowej az. 250°	0.3-2.0	<1.0*	<1.0*	<1.0*	1.4	0.05	53°49'42.6" 20°41'25.8"
28	GKP w odległości poziomej 106m od anteny sektorowej az. 250°	0.3-2.0	<1.0*	<1.0*	<1.0*	1.4	0.05	53°49'41.9" 20°41'22.6"

Sprawozdanie z badań bez pisemnej zgody laboratorium nie może być powielane inaczej niż w całości.

Wyniki przedstawione w niniejszym sprawozdaniu odnoszą się wyłącznie do badanego obiektu i do warunków i konfiguracji urządzeń w dniu wykonywania pomiarów.

29	PKP na az. 5° w odległości poziomej 55m od anteny sektorowej az. 40°	2.0	1.4	1.4	1.4	1.9	0.07	53°49'45.1" 20°41'28.3"
30	PKP na az. 19° w odległości poziomej 55m od anteny sektorowej az. 40°	2.0	1.6	1.6	1.6	2.2	0.08	53°49'45.1" 20°41'29.0"
31	PKP na az. 33° w odległości poziomej 56m od anteny sektorowej az. 40°	2.0	1.5	1.5	1.5	2	0.07	53°49'44.8" 20°41'29.8"
32	PKP na az. 47° w odległości poziomej 43m od anteny sektorowej az. 40°	2.0	1.5	1.5	1.5	2	0.07	53°49'44.4" 20°41'29.8"
33	PKP na az. 60° w odległości poziomej 57m od anteny sektorowej az. 40°	2.0	1.3	1.3	1.3	1.8	0.06	53°49'44.0" 20°41'30.8"
34	PKP na az. 75° w odległości poziomej 57m od anteny sektorowej az. 40°	2.0	1.5	1.5	1.5	2	0.07	53°49'43.7" 20°41'31.2"
35	PKP na az. 95° w odległości poziomej 56m od anteny sektorowej az. 130°	0.3-2.0	<1.0*	<1.0*	<1.0*	1.4	0.05	53°49'43.0" 20°41'31.2"
36	PKP na az. 110° w odległości poziomej 54m od anteny sektorowej az. 130°	0.3-2.0	<1.0*	<1.0*	<1.0*	1.4	0.05	53°49'42.6" 20°41'30.8"
37	PKP na az. 137° w odległości poziomej 53m od anteny sektorowej az. 130°	2.0	1.2	1.2	1.2	1.6	0.06	53°49'41.9" 20°41'30.1"
38	PKP na az. 150° w odległości poziomej 52m od anteny sektorowej az. 130°	2.0	1.4	1.4	1.4	1.9	0.07	53°49'41.5" 20°41'29.8"
39	PKP na az. 165° w odległości poziomej 60m od anteny sektorowej az. 130°	0.3-2.0	<1.0*	<1.0*	<1.0*	1.4	0.05	53°49'41.2" 20°41'29.0"
40	PKP na az. 213° w odległości poziomej 30m od anteny sektorowej az. 250°	2.0	1.5	1.5	1.5	2	0.07	53°49'42.2" 20°41'27.2"
41	PKP na az. 230° w odległości poziomej 45m od anteny sektorowej az. 250°	0.3-2.0	<1.0*	<1.0*	<1.0*	1.4	0.05	53°49'42.2" 20°41'26.2"
42	PKP na az. 242° w odległości poziomej 49m od anteny sektorowej az. 250°	2.0	1.3	1.3	1.3	1.8	0.06	53°49'42.6" 20°41'25.8"
43	PKP na az. 257° w odległości poziomej 54m od anteny sektorowej az. 250°	2.0	1.4	1.4	1.4	1.9	0.07	53°49'42.6" 20°41'25.1"
44	PKP na az. 270° w odległości poziomej 53m od anteny sektorowej az. 250°	0.3-2.0	<1.0*	<1.0*	<1.0*	1.4	0.05	53°49'43.3" 20°41'25.1"
45	PKP na az. 285° w odległości poziomej 53m od anteny sektorowej az. 250°	0.3-2.0	<1.0*	<1.0*	<1.0*	1.4	0.05	53°49'43.7" 20°41'25.1"
-	GKP w odległości poziomej 186m od anteny sektorowej az. 40°	2.0	1.6	1.6	1.6	2.2	0.08	53°49'48.0" 20°41'34.8"
-	GKP w odległości poziomej 473m od anteny sektorowej az. 130°	0.3-2.0	<1.0*	<1.0*	<1.0*	1.4	0.05	53°49'33.2" 20°41'48.1"

Sprawozdanie z badań bez pisemnej zgody laboratorium nie może być powielane inaczej niż w całości.

Wyniki przedstawione w niniejszym sprawozdaniu odnoszą się wyłącznie do badanego obiektu i do warunków i konfiguracji urządzeń w dniu wykonywania pomiarów.

-	GKP w odległości poziomej 142m od anteny sektorowej az. 250°	0.3-2.0	<1.0*	<1.0*	<1.0*	1.4	0.05	53°49'41.5" 20°41'20.8"
---	--	---------	-------	-------	-------	-----	------	----------------------------

Pole magnetyczne (wyznaczone na podstawie pomiaru wartości natężenia pola elektrycznego)

Nr pionu	Opis umiejscowienia pionu (punktu) pomiarowego	Wysokość pomiaru [m]	Wartość natężenia pola magnetycznego H [A/m] ¹			Wartość natężenia pola magnetycznego powiększona o niepewność pomiaru ⁴ H [A/m]	Wskaźnikowa wartość poziomu emisji pól elektromagnetycznych WM _H ³	Współrzędne geograficzne pionu (punktu) pomiarowego ²
			Sonda SW-15	Sonda SW-16	Wartość			
1	DPP wewnątrz budynku kościoła	0.3-2.0	<0.003*	<0.003*	<0.003*	0.004	0.05	53°49'43.3" 20°41'28.7"
2	DPP wewnątrz budynku kościoła	0.3-2.0	<0.003*	<0.003*	<0.003*	0.004	0.05	53°49'43.0" 20°41'30.1"
3	DPP w oknie otwartym mieszkania nr 3 budynku przy ul Nowowiejskiego 7	2.0	0.005	0.005	0.005	0.006	0.09	53°49'44.0" 20°41'30.1"
4	DPP w oknie na parterze budynku przy ul Nowowiejskiego 7	2.0	0.004	0.004	0.004	0.006	0.08	53°49'44.4" 20°41'29.8"
5	DPP 2 oknie parterowego budynku usługowego przy ul Nowowiejskiego 5	2.0	0.004	0.004	0.004	0.006	0.08	53°49'44.0" 20°41'28.3"
6	DPP w oknie parterowego budynku usługowego przy ul Nowowiejskiego 5a	2.0	0.005	0.005	0.005	0.006	0.08	53°49'44.0" 20°41'28.0"
7	DPP w oknie otwartym mieszkania nr 2 na 1 piętrze budynku przy ul Kopernika 8	0.3-2.0	<0.003*	<0.003*	<0.003*	0.004	0.05	53°49'43.0" 20°41'27.2"
8	DPP w oknie na parterze budynku plebanii przy ul. Nowowiejskiego 4	2.0	0.004	0.004	0.004	0.006	0.08	53°49'43.3" 20°41'31.2"
9	DPP w oknie mieszkania nr 2 na 1 piętrze budynku przy ul. Mickiewicza 17	2.0	0.003	0.003	0.003	0.005	0.06	53°49'43.7" 20°41'26.2"
10	DPP w oknie na parterze budynku przy ul Mickiewicza 19	2.0	0.004	0.004	0.004	0.005	0.07	53°49'43.3" 20°41'26.2"
11	DPP w oknie na parterze budynku przy ul. Mickiewicza 26	2.0	0.003	0.003	0.003	0.004	0.06	53°49'42.6" 20°41'24.7"
12	DPP w oknie na parterze budynku przy ul Mickiewicza 28	2.0	0.003	0.003	0.003	0.005	0.06	53°49'42.2" 20°41'24.4"
13	DPP w oknie otwartym klatki schodowej na 4 piętrze budynku przy ul Mickiewicza 23	2.0	0.005	0.005	0.005	0.007	0.1	53°49'42.6" 20°41'25.4"
14	DPP w oknie klatki schodowej na 1 piętrze budynku przy ul Mazurskiej 2	2.0	0.003	0.003	0.003	0.005	0.06	53°49'42.2" 20°41'25.8"

Sprawozdanie z badań bez pisemnej zgody laboratorium nie może być powielane inaczej niż w całości.

Wyniki przedstawione w niniejszym sprawozdaniu odnoszą się wyłącznie do badanego obiektu i do warunków i konfiguracji urządzeń w dniu wykonywania pomiarów.

15	DPP w oknie otwartym mieszkania nr 7 na 3 piętrze budynku przy ul. Smetka 2	2.0	0.006	0.006	0.006	0.008	0.1	53°49'42.6" 20°41'26.9"
16	DPP w oknie otwartym klatki schodowej na 2 piętrze budynku przy ul. Kopernika 7	2.0	0.004	0.004	0.004	0.005	0.07	53°49'42.2" 20°41'27.6"
17	DPP w oknie na parterze budynku przy ul. Kopernika 5	2.0	0.003	0.003	0.003	0.005	0.06	53°49'41.9" 20°41'27.6"
18	GKP w odległości poziomej 17m od anteny radioliniowej az. 20°	2.0	0.003	0.003	0.003	0.004	0.06	53°49'43.7" 20°41'28.7"
19	GKP w odległości poziomej 62m od anteny radioliniowej az. 20°	2.0	0.004	0.004	0.004	0.005	0.07	53°49'45.1" 20°41'29.4"
20	GKP w odległości poziomej 24m od anteny sektorowej az. 40°	2.0	0.003	0.003	0.003	0.005	0.06	53°49'44.0" 20°41'29.0"
21	GKP w odległości poziomej 69m od anteny sektorowej az. 40°	2.0	0.004	0.004	0.004	0.005	0.07	53°49'45.1" 20°41'30.5"
22	GKP w odległości poziomej 113m od anteny sektorowej az. 40°	2.0	0.004	0.004	0.004	0.005	0.07	53°49'46.2" 20°41'32.3"
23	GKP w odległości poziomej 26m od anteny sektorowej az. 130°	0.3-2.0	<0.003*	<0.003*	<0.003*	0.004	0.05	53°49'42.6" 20°41'29.4"
24	GKP w odległości poziomej 53m od anteny sektorowej az. 130°	2.0	0.003	0.003	0.003	0.004	0.06	53°49'41.9" 20°41'30.5"
25	GKP w odległości poziomej 71m od anteny sektorowej az. 130°	2.0	0.004	0.004	0.004	0.006	0.08	53°49'41.5" 20°41'31.2"
26	GKP w odległości poziomej 9m od anteny sektorowej az. 250°	2.0	0.003	0.003	0.003	0.005	0.06	53°49'43.0" 20°41'27.6"
27	GKP w odległości poziomej 44m od anteny sektorowej az. 250°	0.3-2.0	<0.003*	<0.003*	<0.003*	0.004	0.05	53°49'42.6" 20°41'25.8"
28	GKP w odległości poziomej 106m od anteny sektorowej az. 250°	0.3-2.0	<0.003*	<0.003*	<0.003*	0.004	0.05	53°49'41.9" 20°41'22.6"
29	PKP na az. 5° w odległości poziomej 55m od anteny sektorowej az. 40°	2.0	0.004	0.004	0.004	0.005	0.07	53°49'45.1" 20°41'28.3"
30	PKP na az. 19° w odległości poziomej 55m od anteny sektorowej az. 40°	2.0	0.004	0.004	0.004	0.006	0.08	53°49'45.1" 20°41'29.0"
31	PKP na az. 33° w odległości poziomej 56m od anteny sektorowej az. 40°	2.0	0.004	0.004	0.004	0.005	0.07	53°49'44.8" 20°41'29.8"
32	PKP na az. 47° w odległości poziomej 43m od anteny sektorowej az. 40°	2.0	0.004	0.004	0.004	0.005	0.07	53°49'44.4" 20°41'29.8"
33	PKP na az. 60° w odległości poziomej 57m od anteny sektorowej az. 40°	2.0	0.003	0.003	0.003	0.005	0.06	53°49'44.0" 20°41'30.8"

Sprawozdanie z badań bez pisemnej zgody laboratorium nie może być powielane inaczej niż w całości.

Wyniki przedstawione w niniejszym sprawozdaniu odnoszą się wyłącznie do badanego obiektu i do warunków i konfiguracji urządzeń w dniu wykonywania pomiarów.

34	PKP na az. 75° w odległości poziomej 57m od anteny sektorowej az. 40°	2.0	0.004	0.004	0.004	0.005	0.07	53°49'43.7" 20°41'31.2"
35	PKP na az. 95° w odległości poziomej 56m od anteny sektorowej az. 130°	0.3-2.0	<0.003*	<0.003*	<0.003*	0.004	0.05	53°49'43.0" 20°41'31.2"
36	PKP na az. 110° w odległości poziomej 54m od anteny sektorowej az. 130°	0.3-2.0	<0.003*	<0.003*	<0.003*	0.004	0.05	53°49'42.6" 20°41'30.8"
37	PKP na az. 137° w odległości poziomej 53m od anteny sektorowej az. 130°	2.0	0.003	0.003	0.003	0.004	0.06	53°49'41.9" 20°41'30.1"
38	PKP na az. 150° w odległości poziomej 52m od anteny sektorowej az. 130°	2.0	0.004	0.004	0.004	0.005	0.07	53°49'41.5" 20°41'29.8"
39	PKP na az. 165° w odległości poziomej 60m od anteny sektorowej az. 130°	0.3-2.0	<0.003*	<0.003*	<0.003*	0.004	0.05	53°49'41.2" 20°41'29.0"
40	PKP na az. 213° w odległości poziomej 30m od anteny sektorowej az. 250°	2.0	0.004	0.004	0.004	0.005	0.07	53°49'42.2" 20°41'27.2"
41	PKP na az. 230° w odległości poziomej 45m od anteny sektorowej az. 250°	0.3-2.0	<0.003*	<0.003*	<0.003*	0.004	0.05	53°49'42.2" 20°41'26.2"
42	PKP na az. 242° w odległości poziomej 49m od anteny sektorowej az. 250°	2.0	0.003	0.003	0.003	0.005	0.06	53°49'42.6" 20°41'25.8"
43	PKP na az. 257° w odległości poziomej 54m od anteny sektorowej az. 250°	2.0	0.004	0.004	0.004	0.005	0.07	53°49'42.6" 20°41'25.1"
44	PKP na az. 270° w odległości poziomej 53m od anteny sektorowej az. 250°	0.3-2.0	<0.003*	<0.003*	<0.003*	0.004	0.05	53°49'43.3" 20°41'25.1"
45	PKP na az. 285° w odległości poziomej 53m od anteny sektorowej az. 250°	0.3-2.0	<0.003*	<0.003*	<0.003*	0.004	0.05	53°49'43.7" 20°41'25.1"
-	GKP w odległości poziomej 186m od anteny sektorowej az. 40°	2.0	0.004	0.004	0.004	0.006	0.08	53°49'48.0" 20°41'34.8"
-	GKP w odległości poziomej 473m od anteny sektorowej az. 130°	0.3-2.0	<0.003*	<0.003*	<0.003*	0.004	0.05	53°49'33.2" 20°41'48.1"
-	GKP w odległości poziomej 142m od anteny sektorowej az. 250°	0.3-2.0	<0.003*	<0.003*	<0.003*	0.004	0.05	53°49'41.5" 20°41'20.8"

Pomiarów nie wykonano:

Oznaczenie braku dostępu	Opis umiejscowienia
A	W budynku mieszkalnym pod adresem Nowowiejskiego 4, z powodu braku mieszkańców.
B	W mieszkaniach nr 4, 5 pod adresem Kopernika 5, z powodu braku mieszkańców.

W miejscach, w których nie udało się przeprowadzić pomiarów z powodu nieobecności mieszkańców, Laboratorium Badań Środowiskowych NetWorks podejmie próbę ich wykonania podczas kolejnych badań poziomu pól elektromagnetycznych prowadzonych na potrzeby ochrony środowiska.

Sprawozdanie z badań bez pisemnej zgody laboratorium nie może być powielane inaczej niż w całości.

Wyniki przedstawione w niniejszym sprawozdaniu odnoszą się wyłącznie do badanego obiektu i do warunków i konfiguracji urządzeń w dniu wykonywania pomiarów.

GKP – Główny Kierunek Pomiarowy
DPP – Dodatkowy Pion Pomiarowy
PKP – Pomocniczy Kierunek Pomiarowy

¹ wyniki oznaczone * są wynikami poniżej czułości zestawu pomiarowego i są wynikami spoza zakresu akredytacji. Do obliczenia wyniku skorygowanego przyjęto wartość skorelowaną z rzeczywistym wynikiem pomiaru - dolną granicę akredytowanego zakresu pomiarowego metody

² współrzędne geograficzne pozyskane metodą pomiaru bezpośredniego

³ do wyznaczenia wartości wskaźnikowej WM_E i WM_H przyjęto na podstawie uzgodnień z klientem oraz rozpoznania źródeł, jako wartości dopuszczalne pola elektrycznego i magnetycznego odpowiednio 28 V/m i 0,073 A/m.

⁴ do wyznaczenia niepewności dla wyników poniżej czułości zestawu pomiarowego, przyjęto niepewność dla minimalnej wartości z zakresu pomiarowego.

⁵ maksymalna wartość chwilowa

Niepewność oszacowano zgodnie z dokumentem P-03 „Procedura nadzoru nad wyposażeniem” w postaci niepewności rozszerzonej wynikającej z niepewności standardowej pomnożonej przez współczynnik rozszerzenia $k=2$.

Całkowita szacowana niepewność rozszerzona składowej E wynosi odpowiednio:

sonda SW-15: 35.1% dla częstotliwości do 4 GHz, sonda SW-16: 29.9% dla częstotliwości do 4 GHz

Pomiar wykonany metodą 2 sond, opisaną w artykule Medycyna Pracy 2015;66(5):701–712 „Optymalizacja metodyki pomiaru wieloczęstotliwościowego pola elektromagnetycznego stacji bazowych telefonii komórkowej”.

Umieszczenie pionów (punktów) pomiarowych przedstawiono w załączniku nr 2 do niniejszego sprawozdania.

10. Omówienie wyników pomiarów

W związku z tym, że żadna z wartości zmierzonych, udokumentowanych w tabelach w pkt. 9, uzyskanych w skutek zastosowania pomiaru szerokopasmowego, powiększonego o rozszerzoną niepewność pomiaru U dla współczynnika rozszerzenia $k = 2$ nie przekroczyła 70% najniższej dopuszczalnej wartości składowej elektrycznej lub magnetycznej pola dla objętych pomiarami zakresów częstotliwości, nie uwzględnia się poprawek pomiarowych.

W wyniku zastosowania sposobu sprawdzenia dotrzymania dopuszczalnych poziomów pól elektromagnetycznych w środowisku, zgodnie pkt 25 ppkt 1 Rozporządzenia Ministra Klimatu z dnia 17 lutego 2020 r. (Dz. U. 2022, poz. 2630), w związku z tym, że żadna z wartości wskaźnikowych, udokumentowanych w tabelach w pkt. 9 nie przekracza wartości 1, stwierdza się, że w miejscach, w których wykonano pomiary w otoczeniu instalacji radiokomunikacyjnej 7482 (44742N!) BARCZEWO CITY (GOL_BARCZEWO_CITY), dopuszczalne poziomy pól elektromagnetycznych w środowisku należy uznać za dotrzymane.

Miejsca niedostępne podczas wykonywania pomiarów wskazane zostały w pkt. 9 (Wyniki pomiarów) lub na załączniku przedstawiającym usytuowanie pionów pomiarowych.

11. Podstawa prawna

- 1) Ustawa z dnia 27 kwietnia 2001 r. Prawo ochrony środowiska (T. j. Dz. U. z 2025 r., poz. 647 z późn. zm.)
- 2) Rozporządzenie Ministra Zdrowia z dnia 17 grudnia 2019 r. w sprawie dopuszczalnych poziomów pól elektromagnetycznych w środowisku (Dz. U. 2019, poz. 2448)
- 3) Rozporządzenie Ministra Klimatu z dnia 17 lutego 2020 r. w sprawie sposobów sprawdzania dotrzymania dopuszczalnych poziomów pól elektromagnetycznych w środowisku (Dz. U. 2022, poz. 2630),
- 4) Akredytacja nr AB 419 wydana przez Polskie Centrum Akredytacji (wydanie 24, z dnia 14 stycznia 2026r.)

12. Spis załączników

- Załącznik 1. Lokalizacja obiektu badań
- Załącznik 2. Usytuowanie pionów (punktów) pomiarowych
- Załącznik 3. Dokumentacja fotograficzna obiektu badań

13. Data wydania i autoryzowania sprawozdania

Obliczenia i sprawozdanie wykonał :

Sprawozdanie autoryzował:

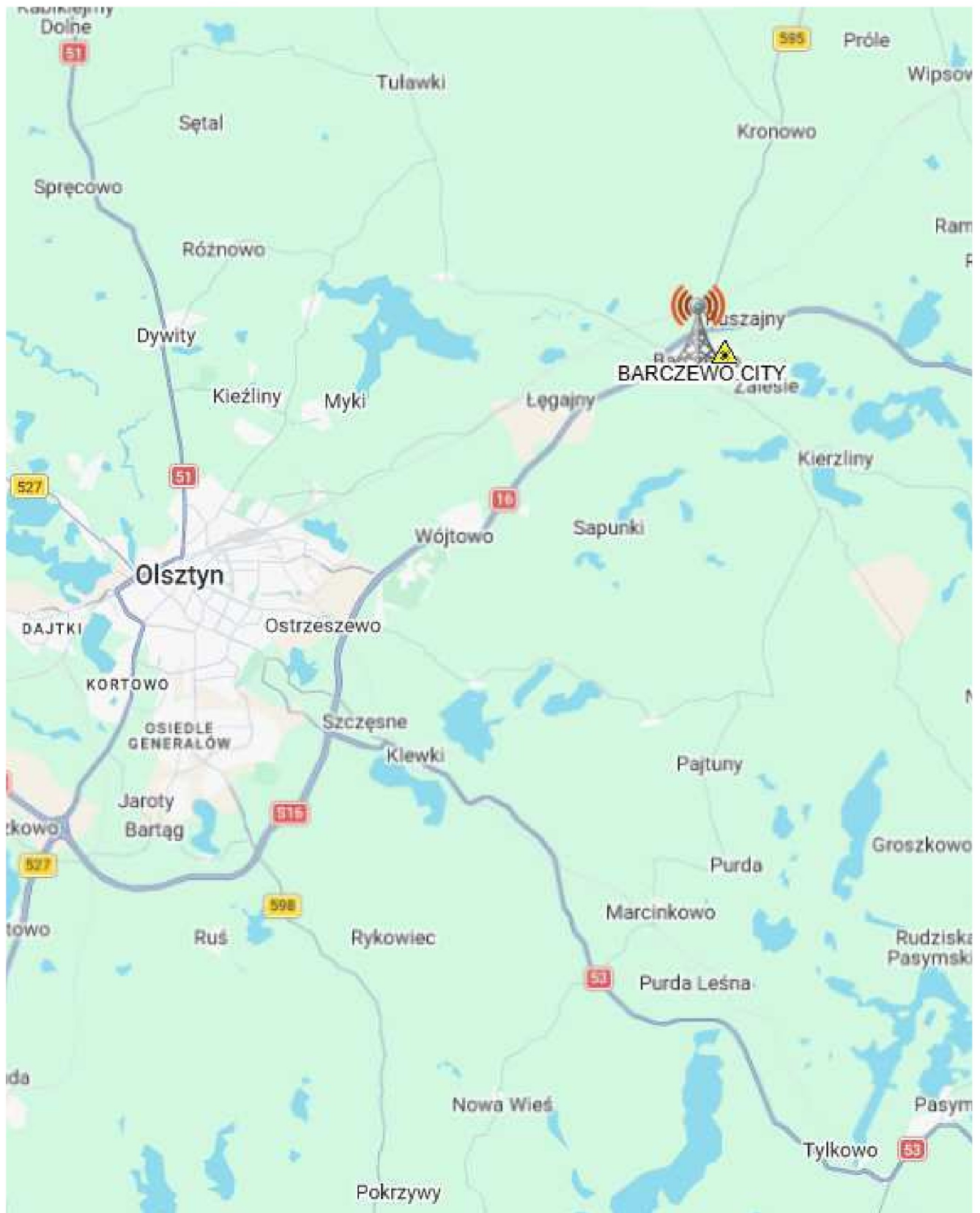
Elektronicznie podpisany
przez
Data: 2026.05.15 10:27:21
+02'00'

Elektronicznie podpisany
przez
Data: 2026.05.16 12:04:33
+02'00'

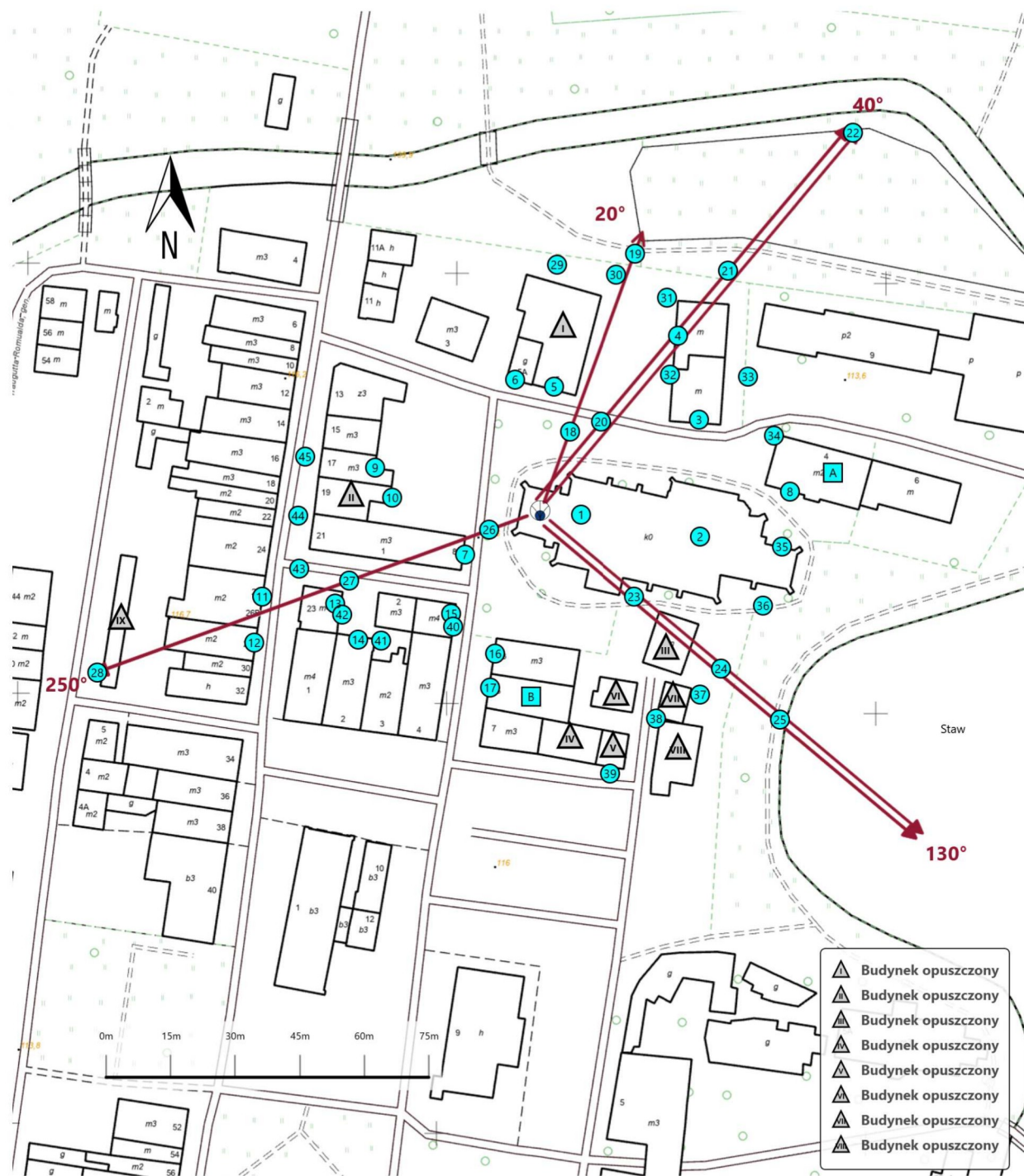
Koniec sprawozdania

Sprawozdanie z badań bez pisemnej zgody laboratorium nie może być powielane inaczej niż w całości.

Wyniki przedstawione w niniejszym sprawozdaniu odnoszą się wyłącznie do badanego obiektu i do warunków i konfiguracji urządzeń w dniu wykonywania pomiarów.



Załącznik nr 1	<p style="text-align: center;">Instalacja radiokomunikacyjna Orange Polska S.A. 7482 (44742N!) BARCZEWO CITY (GOL_BARCZEWO_CITY) Lokalizacja instalacji</p>
----------------	---



Załącznik nr 2	<p>Instalacja radiokomunikacyjna Orange Polska S.A. GOL_BARCZEWO_CITY (44742N!) Usytuowanie pionów pomiarowych w otoczeniu instalacji radiokomunikacyjnej</p>										
	<p>Legenda:</p> <table style="width: 100%; border: none;"> <tr> <td style="text-align: center;"></td> <td style="text-align: center;"></td> <td style="text-align: center;"></td> <td style="text-align: center;"></td> <td style="text-align: center;"></td> </tr> <tr> <td style="text-align: center;">Źródło pola elektromagnetycznego</td> <td style="text-align: center;">Brak dostępu</td> <td style="text-align: center;">Pion pomiarowy</td> <td style="text-align: center;">Kierunek oddziaływania anten sektorowych</td> <td style="text-align: center;">Kierunek oddziaływania anten radioliniowych</td> </tr> </table>						Źródło pola elektromagnetycznego	Brak dostępu	Pion pomiarowy	Kierunek oddziaływania anten sektorowych	Kierunek oddziaływania anten radioliniowych
Źródło pola elektromagnetycznego	Brak dostępu	Pion pomiarowy	Kierunek oddziaływania anten sektorowych	Kierunek oddziaływania anten radioliniowych							



Załącznik nr 3

Instalacja radiokomunikacyjna Orange Polska S.A.
7482 (44742N!) BARCZEWO CITY (GOL_BARCZEWO_CITY)
Dokumentacja fotograficzna